

KUZEYBATI ANADOLU'DA ISI AKISI DAĞILIMI

Heat Flow Pattern of Northwest Anatolia

O. Metin İLKİŞİK*

ÖZET

Yerin ortalama ısı akısı 61.5 mW/m^2 dir (Lee 1970) ve Prekambriyen alanlarda 41.5 mW/m^2 den Senozoyik alanlarda 90 mW/m^2 ve daha yüksek değerlere kadar değişir (Sass 1971). Levha tektoniği kavramlarına uygun olarak okyanus ortası yükseltmeleri boyunca çok yüksek, dalma batma bölgelerinde ise çukurun önünde düşük, arkasında ise yüksek ısı akısı değerleri gözlenir. Batı Akdeniz genelde yüksek değerler ile karakterize olur. Tersine, Doğu Akdeniz'de ısı akısı verileri düşük bir ısı akısı bölgесine işaret etmektedir. Karadeniz'de ise düşük değerler ölçülümustür (Erickson 1970). Gerçekte çok hızlı bir çökelme olduğundan, bu alan bir yüksek ısı akısı bölgesi olarak yorumlanmalıdır. Ege denizinde alınmış ısı akısı ölçmeleri tektonik yapılar boyunca uzanan üç yüksek ısı akısı bölgесine işaret etmektedir. En yüksek değerler Ege volkanik yayı üzerinde ve arkasındadır.

Türkiye'de Tezcan'ın (1979) jeotermal gradyanı temel alan yaklaşımı dışında geleneksel anlamda ölçülmüş ısı akısı verileri yoktur. Bu çalışmada Kuzeybatı Anadolu'da ısı akısı değerlerini saptamak için yeni bir yöntem uygulanmıştır. Yöntem bir yerdeki ortalama silika sıcaklığı ile bölgesel ısı akısının arasındaki doğrusal bir ilişkinin varlığına dayanır. Edremit Körfezi-Gönen - M. Kemalpaşa - İnegöl kuşağı boyunca 140 mW/m^2 ye varan yüksek ısı akısı değerleri saptanmıştır. Kuzey Anadolu Fayının güney kolu ve Bilecik'ten geçen kenet kuşağı boyunca bu yüksek ısı akısı belirtisinin varlığı Miyosen sonrası kapanan bir dalma batma ve bunun volkanik etkinlikleri ile ilişkili olabilir.

Bilecik kuzeyindeki manyetotelürik ölçmelerde (İlkışık 1988) özdirenci yüksek bir ortamın altında 18-20 km den aşağıda elektrik özdirencin 10-100 ohm-m civarına düştüğü gözlenmiştir. Bu sonuç, yukarıda değinilen kuşak boyunca saptanan yüksek ısı akısı belirtisi ile birlikte Moho/üst manto sınırında bir kısmi ergimeyi yansıtabilir. Eğer bu doğru ise, sıcaklık -en azından bu kuşak boyunca- $800-1000^\circ\text{C}$ civarında olmalıdır.

ABSTRACT

The mean heat flow of the earth is 61.5 mW/m^2 (Lee 1970). Heat flow ranges from about 41 mW/m^2 in Precambrian areas to over 90 mW/m^2 in Cenozoic areas (Sass 1971). Very high flow values are observed along the mid-oceanic ridges compatible with the concepts of the plate tectonics. In the subduction zones however, low heat flow values in fronts and high heat flow data behind the trenches are observed. Western Mediterranean is, in general, characterized with high values. In contrast, the heat flow data from the eastern Mediterranean region indicates an extensive area of low heat flow. In the Black Sea, however, low heat flow values have been measured (Erickson 1970). In fact, this area must be interpreted as a high heat flow zone due to a very high rate of sedimentation. Heat flow measurements in the Aegean Sea indicates three high heat flow zones along the tectonic zones. The highest values occur within and behind the Aegean volcanic arc.

In Turkey, there are not any conventionally measured heat flow data, except Tezcan's (1979) geothermal gradient approach. In the present study however, a new method has been applied to determine heat flow values in Northwestern Anatolia. The method based on the linear correlation between average silica geotemperature and regional heat flow for a region (Swanberg ve Morgan 1979). The observed distribution of high heat flow values up to 140 mW/m^2 are lined up along the Edremit Bay-Gönen-M.Kemalpaşa-İnegöl Zone. This high heat flow anomaly along southern branch of the North Anatolian Fault and collision zone near Bilecik are plausibly related to the volcanic activity of a Post-Miosen subduction zone.

Magnetotelluric measurements in north of Bilecik (İlkışık 1988) suggest that a low resistivity of 10-100 ohm.m underlies a 18-20 km thick high resistivity medium. This result together with the above mentioned high heat flow anomaly along the Edremit-Gönen-İnegöl-Bilecik zone may reflect a partial melting at the Moho/upper mantle boundary. If this is the case, temperature - at least along this zone - should be around $800-1000^\circ\text{C}$.

* I.Ü. Mühendislik Fakültesi Jeofizik Mühendisliği Bölümü, Vezneciler-İSTANBUL

İSİ AKISI ÖLÇÜMLERİ

İsinin her ortamda iletimi sırasında sıcaklığın uzaklıla değişim oranına "sıcaklık gradyanı" denir. İsi akışı ile ilgili jeofizik araştırmalarda sadece düşey doğrultudaki sıcaklık değişimi (dT/dz) dikkate alınır. Bir ortamın ısı iletkenliği ise birim sıcaklık gradyanında, birim zamanda birim alandan geçen ısı miktarına eşittir. "k" ile gösterilen ısı iletkenliğinin SI sisteminde birimi W/mC° dir.

Herhangi bir ortam içinde ısı birbirine paralel birim kesit yüzeylerinden bu yüzeylere dik olarak akmakta ise ve duraylı duruma ulaşmışsa ısı akısı, ısı iletkenliği ve sıcaklık gradyanı

$$q = k \times (dT / dz) \quad (1)$$

çarpımın eşittir.

İsi akısının alışılmış birimi cgs sisteminde türetilmiş $\mu\text{cal/cm}^2 \text{ s}$ (HFU) olmakla birlikte, günümüzde kabul edilen SI birim sistemine uygun birimi mW/m^2 dir. İki birim arasında

$$1 \mu\text{cal/cm}^2 \text{ s (HFU)} = 41.84 \text{ mW/m}^2$$

ilişkisi vardır.

Kayaçlarda ısı iletkenliği minerallere bağlı olmakla birlikte, gözeneklilikten çok etkilenir. Ayrıca, sıcaklık ve basıncı bağlı olarak artar.

Yerküreyi oluşturan maddelerin çeşitli fiziksel özelliklerinin bir çoğu sıcaklığa bağlı olarak değişir. Bu nedenle, yerin ısı akısına ilişkin ölçmeler yaparak yerkürenin iç sıcaklığına ve yerkabوغunu oluşturan kayaçların diğer fiziksel özelliklerine ait bilgiler edinmek birçok yerbilimcinin araştırma konusudur.

İsi akısının (1) bağıntısından bulunabilmesi için iki farklı büyülüğin ölçülmesi gereklidir. Bunlardan sıcaklık gradyanı, incelenen ortam içinde düşey olarak duran ve aralarındaki uzaklık sabit olan iki noktadaki sıcaklık ölçülerek saptanır. Diğer büyülüklük ısı iletkenliği ise sıcaklık gradyanının ölçüldüğü kütlenin civarından alınacak bir örnek üzerinde laboratuvara ölçülür.

İsi akısı ölçmelerinde bazı düzeltmelerin yapılması gereklidir. Sonuçların yorumlanması açısından önemli olanlar şunlardır. Okyanuslarda çökelme hızı düşük olmakla birlikte, kıtalara yakın küçük basenlerde oldukça yüksektir. Buralarda yerküreye ait isının önemli bir bölümünü hızla çökelten taneciklerin isınması ile yutulur ve ısı gradyanı bağıl olarak daha küçük ölçülür. Bu etkinin giderilmesi için çökelme türü, hızı ve okyanus baseni gelişim tarihini bilinmesi gereklidir.

Bir de sadece kıtalardaki ölçmeleri etkileyen daha değişik bir olay vardır. Bilindiği gibi, radyoaktif cisimler ısı yolu ile enerji yayarlar. Kıtalar kabuğun ana hatları ile silisik ve bazik bileşimde iki tabakadan oluşan kabul edilirse, silisik üst kısımlar, bağıl olarak daha fazla radyoaktiflik ve ek bir ısı üretir. Bu durumda kabuk içinde radyoaktif yolla üretilen ısı, yerkürenin içinden gelen ısıya eklenecek ve yeryüzünde ikisi birden ölçülecektir. Bu durumun da yorumlarda dikkate alınması gereklidir.

Yerküre üzerinde ortalama ısı akısı 61.5 mW/m dir (Lee 1970). Kabuk malzemelerinin farklı olmasına karşın, denizlerdeki ölçmeler ile karalardaki ölçmelerin ortalama diğerleri birbirinden çok farklı değildir.

Gözlenen ısı akısı değerleri ile tektonik olayların yaşı arasında kesin bir ilişki vardır. Prekambriyen kalkanlar gibi yaşlı tektonik birimler üzerinde düşük ısı akısı, Senozoyik gibi genç kıvrımlar civarında ise yüksek ısı akısı ölçülmektedir. Ayrıca, ısı akısı değerleri ile yerkabوغ kalınlığı ters orantılıdır. Öte yandan, levha tektoniği ile ilişkili olarak, kabuktaki yanal ve düşey hareketler ve volkanik etkinliklerin biçimlendirdiği ısı rejimleri yeryüzündeki ısı akısı değerlerine yansımaktadır.

Yeryüzünde yatay sıcaklık gradyanının yüksek olduğu bölgeler genellikle sismik etkinliğin yüksek olduğu olanlara karşı gelmektedir (Karnik 1971). Şiddetli depremlerin gözlemediği Doğu Karpatlar, Ege Denizi ve Batı Anadolu ısı akısında hızlı yanal değişimlerin gözlenildiği bölgelerdir.

AVRUPA'DA VE TÜRKİYE CİVARINDA ISI AKISI

Avrupa kıtası ve etrafındaki denizlerde oldukça çok sayıda ısı akısı ölçümü yapılmıştır. Eldeki verileri kullanarak Cermak ve Hurtig (1978/79) in hazırladığı ısı akısı haritası Şekil 1 de görülmektedir. Bütün kıta için ortalama değer yerküre ortalamasına yakını olup $62.1 \pm 28.6 \text{ mW/m}^2$ dir. İskandinavya ve Ukranya platformu üzerinde, ayrıca Doğu Akdeniz'de Dünya ortalamasının altında düşük ısı akısı görülür (Yaklaşık 40 mW/m^2). Büyük ve Küçük Kafkaslarda dağılışumuna paralel doğrultuda oldukça yüksek ısı akısı anomalisi gözlenmiştir (90 mW/m^2). Dağ zinciri içinde yer alan çokbüntü havzaları ise, tersine, düşük ısı akısı gösterir. Kırım yarımadası civarında hem düşük hem yüksek değerler ölçülmüştür. Orta Avrupa'da Alplerin kuzeyinde ve İngiliz adalarında ısı akısı genelde normal ve yerküre ortalamasına yakındır. İsi akısının Avrupa'da dağılımı bir çok tektonik olay ile ilişkilidir. Örneğin, Ren grabeni üzerinde Avusturya ve İsviçre Alplerinde yüksek ısı akısı ölçülmektedir (Haenel 1974, Clark ve Niblett 1956). Pannonian (Macaristan) havzasında önemli bir yüksek ısı akısı anomalisi vardır (Boldizar 1968). Bu genç çokbüntü havzası kalın Neojen-Kuvatner tortulları ile doludur. Kabuk kalınlığı ortalama 25 km olup tabanında yerel olarak kısmi ergime olduğu düşünülmektedir (Čermak 1975).

Karadeniz'de ölçülmüş ısı akısı değerleri ortalama olarak $35 \pm 16 \text{ mW/m}^2$ dir (Lubimova ve Polyak 1969). Gerçekte, Karadeniz'de ölçülen ısı akısı değerlerine hızlı tortulasmadan dolayı düzeltme uygulandığında, yörenin 114.2 mW/m^2 gibi yüksek bir ısı akısı bölgesi olduğu görülmür (Erickson 1970).

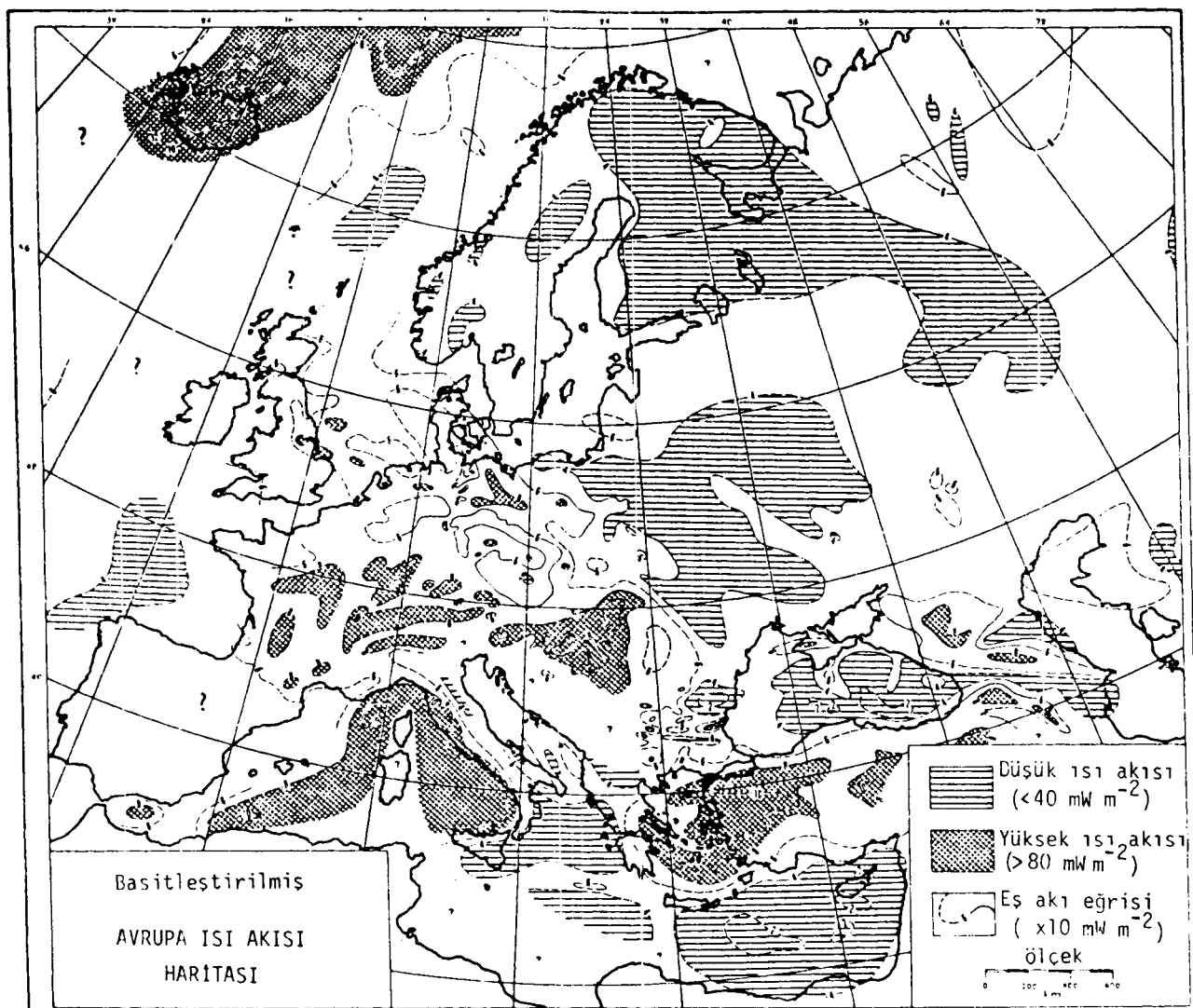
Akdeniz'de ısı akısı dağılımına gelince, Doğu ile Batı Akdeniz arasında açık bir fark göze çarpar. Erickson (1970) e göre, Sardunya ve Korsika adasının batısında ortalama ısı akısı 75 mW/m^2 civarındadır. Tiren Denizi civarında ise ortalama ısı akısı çok yüksek olup 120 mW/m^2 dir. Bütün Batı Akdeniz'de 24 ölçü için bulunan ortalama ısı akısı $97.5 \pm 42 \text{ mW/m}^2$ olup dünya ortalamasının oldukça üzerinde bir değerdir. Doğu Akdeniz'de ise batıdan

farklı olarak, düşük bir ortalama ısı akısı gözlenmektedir. Doğu (Kıbrıs dahil) yapılan 33 ölçmenin ortalaması $30.9 \pm 8 \text{ mW/m}^2$ dir.

Afrika ve Avrasya levhaları arasındaki sınır Azor - Cebelitarık civarında başlar. Cezayir'in kuzeyinden ve Sicilya üzerinden Yunanistan'a geçerek Helenik ada yayı boyunca Girit üzerinden Türkiye'ye ulaşır. Bu sınırın hemen güneyinde Afrika levhası üzerinde ısı akısı değerleri 30 mW/m^2 civarında olup, sınırın kuzeyinde gözlenen $65-70 \text{ mW/m}^2$ lik değerlerin yarısına eşittir (Čermak ve Hurtig 1978/79). İyon Denizi, Pelopones yarımadası öbü ve Girit güneyinden geçerek Rodos civarında Anadolu'ya ulaşan bu dalma batma zonunun kuzeyinde, Ege Denizi'nde, okyanus ada yollarındaki gözlemler ile uyumlu bir biçimde (Yasui ve dig. 1970), deniz dibi derinliğinde değişimler, sismik ve volkanik etkinlikler ve yüksek ısı akışı anomalileri görülür (Ryan ve dig. 1971).

Akdeniz'de ve özellikle Ege Denizi'nde yapılan ısı akışı ölçmeleri ve bunlara ek olarak Türkiye'deki bazı düşey sıcaklık gradyanı ölçmeleri (Tezcan 1979), Afrika

ve Avrasya levhalarının çarşışma zonunun kuzeyinde kalan Türkiye'de yüksek ısı akısı anomalisinin varlığına işaret etmektedir. Bu anomali geniş bir alana yayılmak yerine, Ege'de olduğu gibi, bazı tektonik birimler ile ilişkili olmalıdır. Ege Denizi'nde ve Yunanistan'da ölçülmüş verilerden yararlanarak hazırlanan ısı akısı haritası Şekil 2 de görülmektedir. Esas olarak bazaltik olan Kuvaterner volkanizması Helenik ada yayının iç kısmında Paleogen-Parnas zonu boyunca Astipalia ve Kavaros adaları tizerinden Bodrum Karaada civarına kadar uzanır (Fytikas 1980). Bu kuşak boyunca yer yer 120 mW/m^2 yi aşan yüksek ısı akısı anomali görülmektedir. Teselya masifinde görülen yüksek ısı akısı ve Denizli-Kızıldere Jeotermal alanı bu kuşağın karalardaki iki ucunda yer almaktadır. Bu zonun ortasında yer alan Milos adasında saptanmış jeotermal alan Avrupa Toyluluğunda desteklenen projelerle geliştirilmeye çalışmaktadır (Beamish 1985, kişisel görüşme). Orta Egede İzmir-Ankara zonunun batı ucunda 100 mW/m^2 yi aşan ikinci bir ısı akısı anomali vardır. Kuzeye doğru Oligosen-Miyosen yaşı andezitik volkaniz-



Şekil 1. Avrupa'nın basitleştirilmiş ısı akısı haritası (Čermak ve Hurtig 1978/79 dan)
Fig. 1. Simplified heat flow map of Europe. (After Čermak and Hurtig 1978/79)

İlkışık

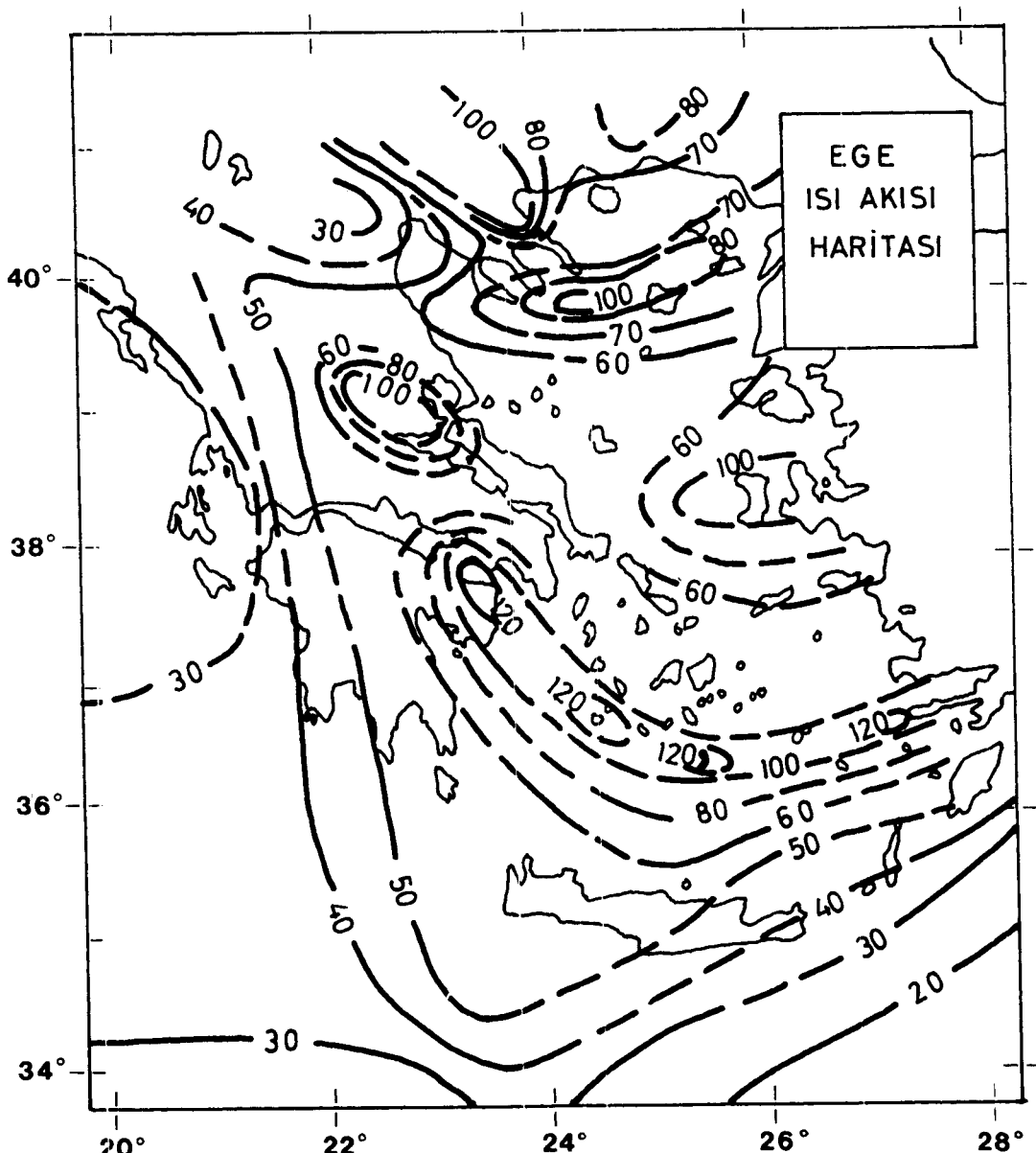
manın görüldüğü Makedonya, Kuzey Ege adaları, Biga ve Gelibolu yarımadasları kıyıları üçüncü bir yüksek ısı akışı anomalisi kuşağı oluşturmaktadır. Bu anomali Kuzey Ege'de bulunan ve Saros üzerinden Marmara'ya uzanan derin deniz çukuruğu üzerindedir (Jongsma 1974).

SİLİKA JEOTERMOMETRESİNDEKİ ISI AKIŞININ SAPTANMASI

Isı akışı hesaplamalarında belli bir noktada düşey sıcaklık gradyanı ile ısı iletkenliğinin ölçülmesi esastır. Ölçümün okyanuslarda veya karalarda yapılması uygulanın teknolojiye biraz farklılıklar getirir. Doğal dengeler iyi korunduğundan, deniz veya göl diplerinde ölçü almak daha kolay ve yaygındır. Ülkemiz etrafındaki denizlere ait verilere önceki bölümde değinmiştim. Anadolu ve Trakya'da ise geleneksel anlamda bir ısı akısı ölçümü henüz

yapılmıştır. Yalnızca Tezcan (1979), daha çok Jeotermal alanlara yakın sıcaklık gradyanlarını dikkate alarak ve sabit bir ısı iletkenliği ($k=2.1 \text{ W/mC}^{\circ}$) kullanarak, bütün Türkiye için yaklaşık bir ısı akısı haritası önermiştir. Şekil 1 deki haritanın hazırlanmasında da aynı veriler kullanılmıştır. Bölgesel olarak kabul edilebilir bir yaklaşım olmakla birlikte, aslında Batı Anadolu'daki gibi geniş alanlara yayılan tek bir anomali yerine, Senozoyik volkanizması ve tektonik kuşaklar ile sıkı sağıltılı birçok yüksek ısı akışı bölgesi bulunması beklenir. Bunu doğrulayacak ayrıntılı bir ısı akısı ölçü programı ise teknolojik organizasyon ve finansman güçlükleri açısından bugün için oluşturulamaz.

Ülkemizde geleneksel anlamda ölçülmüş ısı akısı verilerinin bulunmadığını, ancak konunun bilimsel ve ekonomik önemini gözönüne alarak, ısı akısı hesaplamalarında önerilen yeni bir yöntemi Kuzeybatı Anadolu'ya uy-



Şekil 2. Ege Denizi'nde ısı akısı (Fytikas 1980 den). Değerler mW/m^2 dir.

Fig. 2. Heat flow in the Aegean sea (after Fytikas 1980). Contour values are in mW/m^2 .

guladık. Yöntem oldukça basit olup, kaynak sularındaki çözünmüş SiO_2 miktarından hareketle, bölgenin ısı akışının hesaplanmasına dayanır.

Jeotermal sistemlerin hazne kayaçlarının sıcaklıklarının saptanmasında uygulanan silika jeotermometresi, kuvarsın sudaki çözülebilirliğinin sıcaklık ile değişimini temel alır (Fournier ve Rowe 1966). Suda çözünmüş silikat- SiO_2 ppm olarak ölçülmüş ise, hazne sıcaklığı C° cinsinden

$$\text{TSiO}_2 = \frac{1315}{5.205 - \log \text{SiO}_2} - 273.15 \quad (2)$$

bağıntısından bulunabilir (Trusdell 1976).

Suda erimiş diğer iyonların değerlerini kullanarak da örneğin Ca, Na, K gibi derinliklerdeki sıcaklığın hesaplanması olanağı vardır (Fournier, 1977). Ancak, (2) bağıntısı yüzeye yakın kısımlarda jeotermal sisteme katılan veya ayrılan suların vereceği hatalardan en az etkilenmektedir.

Marmara bölgesinde yer alan bütün jeotermal sular (ilica-içme-maden suyu) MTA sistemi içinde (Demirbaş 1980) numaralanarak (1-72) Şekil 3 de işaretlenmiştir. Bunlardan metasilikat analizleri yapılanlar (Yenal 1969) Çizelge 1 de verilmektedir. Adı geçen kaynak sularının yüzeydeki sıcaklığı ve (2) bağıntısından hesaplanan hazne kaya sıcaklığı (silika sıcaklığı - TSiO_2) Şekil 3 de küçük dikdörtgen alanlar içinde işaretlenmiştir. Birçok noktada (9, 29, 36, 43, 50, 56, 71) hazne sıcaklığı 100°C veya daha fazladır. Armutlu, Yalova (9 ve 10) ve Sındırı

(71) dışında diğer sıcak kaynaklar Bolu'nun batısında ikiye, hatta üçe ayrılan Kuzey Anadolu Kırık Kuşağı'nın en güneydeki Bursa-Gönen-Edremit bölümü ile ilişkilidir. Bu kuşağı Ege'deki devamında Midilli adasında yüzeyde 87.5°C sıcaklığa ulaşan kaynaklar vardır (Fytikas 1980). Bu tektonik ilişkinin yanı sıra, bölgede yer alan alt-orta Miyosen yaşı, daha çok andezitik volkanik ürünler (Ercan 1979) konumuzu oluşturan isının önemli bir kaynağı olmalıdır.

Swanberg ve Morgan (1978/79) silika jeotermometresi ($\text{TSiO}_2 - C^\circ$) ile bölgesel ısı akışı ($q - \text{mW/m}^2$) arasında

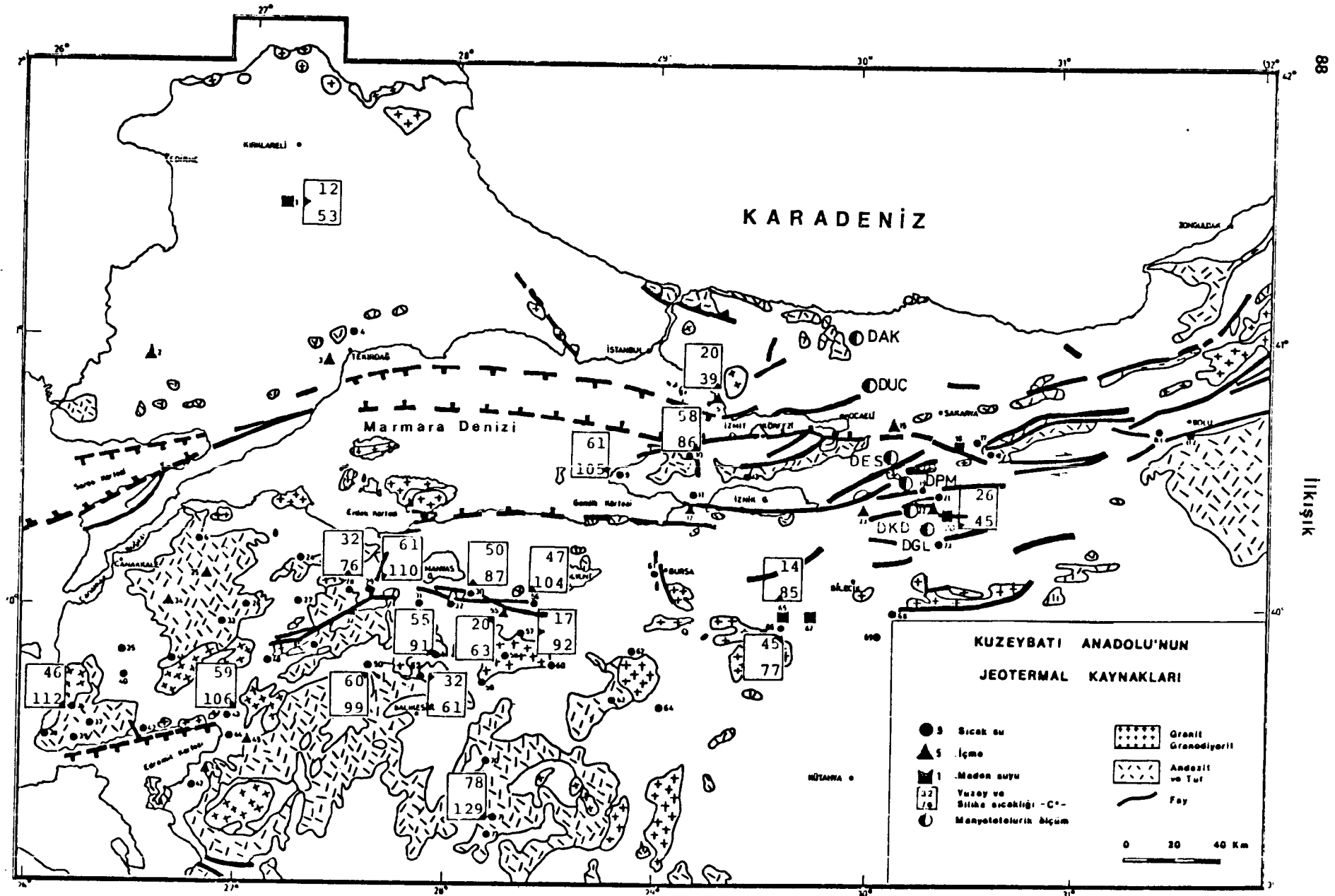
$$\text{TSiO}_2 = mq + b \quad (3)$$

biriminde doğrusal bir ilişki saptanmıştır. Benzeri bir bağıntı Oxburgh ve dig. (1980) tarafından da verilmektedir. Burada m - eğimi, k - ısıtkenlik katsayı ile çarpıldığında, yeraltı sularının dolaşığı ortalama derinliği veren bir sabittir. İncelediğimiz bölgede kayaçların k - ısıtkenliğine ilişkin ölçülmüş ve yayılmış veriler yoktur. Yerkürenin çeşitli yerlerindeki araştırmalara ilişkin yayılarda ise k değerleri kristal kayaçlar için $3.1 \pm$ tortullar için 1.9 W/m.C° civarında veilmektedir. (ör. Clark 1966, Beaumont ve dig. 1982). Kuzeybatı Anadolu için hesaplamalarımızda m değeri 0.7 alınmıştır. Bu değer, kayaçların ısıtkenliğinin $k = 2.1 \text{ W/m.C}^\circ$ olması durumunda yeraltı sularının ortalama dolaşım derinliğinin $d = 1500 \text{ m}$, $k = 2.8$ için ise $d = 2000 \text{ m}$ olmasına karşı gelir. k ve d nin bu sınırları bölgedeki kay-

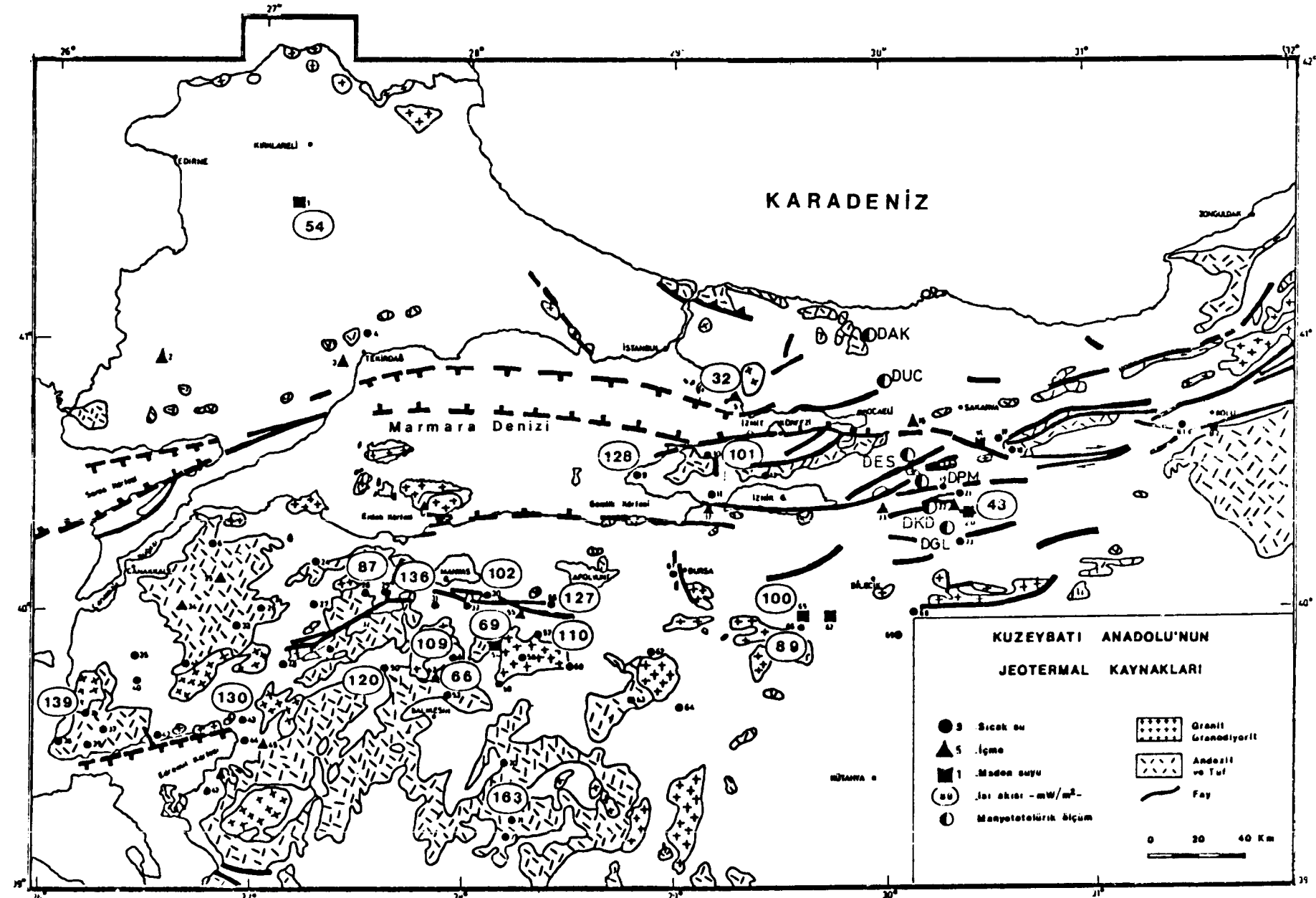
Çizelge 1. Kuzeybatı Anadolu'da metasilikat analizi yapılan jeotermal sular (Yenal 1969 dan), Numaralar MTA sıralamasına göredir (Demirtaşlı 1980). Koordinatlar $\pm 5'$ hatalıdır. (x) Ortalama alınmıştır.

Table 1. Geothermal springs of northwest Anatolia with metasilicate analysis (after Yenal 1969), numbers follow MTA order (Demirtaşlı 1980). Error in coordinates $\pm 5'$. (x) Averaged values

No	Yer	Enlem °	Boylam °	H_2SiO_3 (mg/l)	Yüzeyde $^\circ\text{C}$	Temelde $^\circ\text{C}$	q mW/m^2
1	Lüleburgaz	41 31	27 11	19.20	12	52.7	54
5	Tuzla, İst.	40 50	29 15	12.74	20	38.9	32
9 x	Armutlu	40 31	28 51	70.40	61	105.4	128
10 x	Yalova	40 34	29 10	45.03	58	85.7	101
20 x	Geyve	40 23	30 28	15.38	26	45.1	43
28 x	Ekşidere	40 04	27 04	38.01	32	75.6	87
29 x	Gönen	40 04	27 39	77.3	61	110.1	136
30 x	Susurluk	40 06	28 07	46.3	50	86.6	102
36 x	Ezine	39 38	26 15	83.4	46	111.5	139
43 x	Güre	39 46	26 57	71.5	59	106.4	130
50 x	Balya	39 48	27 40	61.5	60	99.4	120
52	Balıkesir	39 47	27 58	24.2	32	60.9	66
55	M.Kemalpaşa	40 01	28 14	25.6	20	63.0	69
56	"	40 05	28 52	68.1	47	104.1	127
57	"	39 57	28 17	52.0	17	91.8	110
61 x	Bursa	40 10	29 02	59.7	55	90.7	109
65 x	İnegöl	40 01	29 40	44.5	14	84.6	100
66 x	"	39 59	20 40	37.3	45	76.7	89
71 x	Sındırı	39 15	28 13	111.8	78	128.9	163



Şekil 3. Kuzeybatı Anadolu'da jeotermal kaynaklar. Jeoloji Ternek (1984) den alınmıştır.
Fig. 3. Geothermal springs of northwest Anatolia geology taken after Ternek (1964).



Şekil 4. Kuzeybatı Anadolu'da ısı akışı dağılımı
Fig. 4. Heat flow pattern of northwest Anatolia.

nakların ilişkili olduğu havzaların derinliği ve oluşturan malzemeler dikkate alındığında kabul edilebilir değerlerdir. b- değeri ise yıllık ortalama hava sıcaklığıdır. Marmara Bölgesinin güneyindeki şehirler için (Çanakkale-Balıkesir-Bursa-İzmit) 14.3 - 14.8 °C civarında olan uzun yıllar ortalama sıcaklık değerleri (Abur G. kişisel görüşüme) dikkate alınarak hesaplamalarda $b = 15$ °C alınmıştır.

Sıcak kaynak sularının diğerlerine kıyasla daha çok silikat içerecekleri doğaldır. Bağıl olarak ılık veya soğuk sulara ait verilerden saptanan (3) bağıntısı kullanıldığında, sonuçlar belli bir hata taşır. Bunun yanı sıra m - değerindeki belirsizlikler (ki kayaçların ıslı iletkenliğini ve yeraltı suyunu ısınma için dolaştığı derinliği yansıtıyor) ek hatalara yol açmış olmalıdır. Yine de Şekil 4 de verilen ısı akışı değerlerindeki hata sınırının +/- % 25 i geçmeyeceği söylenebilir.

SONUÇLAR

Çalışmamız Kuzeybatı Anadolu'daki jeotermal kaynakların birçoğunda yapılmış metasilikat asidi analizlerinden suyun derinde ısnadığı yerdeki sıcaklığını (bir anlamda ıstan kayacın sıcaklığını) hesaplamak ve bu verileri kullanarak bölgede kabul edilebilir bir ısı akısı dağılımını saptamak amacıyla yönelikti.

Şekil 4 de verilen haritada yer alan ısı akısı değerlerine kesin değerler olarak bakılmamalıdır. Harita Miyosen volkanik etkinlikleri ve Kuzey Anadolu Kırık Kuşağı'na ilişkin olarak bölgede ısı akısının genelde yüksek (en azından 80 mW/m² den yüksek) olduğuna işaret etmekte ve aslında büyük potansiyele sahip, ancak çok az jeofizik veri bulunan bir alanda jeoloji ve tektonik ile yüksek ısı akısı gözlenen yerlerin kıyaslanmasına yaramaktadır.

Edremit Körfezi-Gönen-M.Kemalpaşa kuşağı boyunca 140 mW/m² ye varan yüksek ısı akısı değerleri gözlemlmektedir. Bilinen yüzey jeolojisi (Ternek 1964) ve Kuzeybatı Anadolu gravite verilerinde aynı yerde gözlenen düşük anomali (Ekingen 1978) yörede genç tortullar ile örtülü bir çöküntü kuşağına işaret etmektedir. Aynı kuşak depremler açısından da oldukça etkindir (Ücer ve diğ. 1985). İnegöl civarında (65 ve 66 No.) ısı akısının 100 ve 89 mW/m² ye çıkması bu kuşağın Bilecik'ten gecekenet kuşağına (Okay 1984) bağlılığı izlenimi vermektedir. Eğer Miyosen sonrası kapanan bir dalma batma kuşağı üzerinde bulunuyorsa, gözlenen bu yüksek ısı akısı değerleri kabuk içinde sıkışıp kalmış bazı mağma ceplerinin varlığına işaret edebilir. Čermak ve Lastovicková'nın (1987) Şekil 1 de verilen ısı akısı dağılımı ve daha çok laboratuvar deneylerine dayanarak tasarlardıkları sıcaklık haritası ile Bilecik'in kuzeyinde Gölpazarı-Pamukova civarında yürütülen (DGL, DKD, ...) manyetotellürik araştırmaların sonuçları (İlkışık 1988) 30-40 km derinliklerde Moho/üst mantıksal sıcaklığının 800-1000°C civarında olduğunu göstermektedir. Bu, alt kabukta kısmi ergimelere ve astenosferin yükselimine karşı geliyorsa, Batı Anadolu için geliştirilmekte olan jeolojik modeller açısından önemli olabilir. Ayrıca, Kuzeybatı Anadolu'da Miyosen sonrası volkanik etkinlikler, sismotektonik özellikler ve jeolojik birimler, jeolojinin ve jeofiziğin derinlere dönük çeşitli yöntemleri kullanılarak izlenirse, özellikle kırık ve /veya kenetlenme bölgelerinde yer alan jeotermal po-

tansiyelin bugünkü bilinenden çok daha fazla olduğu gösterebilir.

Anadolu ve Trakya'da yer alan sıcak su ve maden suyu kaynaklarının ise çeşitli kuruluş ve kişilerce farklı zamanlarda yapılmış kimyasal analizleri vardır. Ek olarak petrol ve benzeri amaçlar için açılmış bir çok kuyuda kuyu dibi sıcaklıklar ölçülmüştür. Bütün bunlardan sağlıklı bir jeotermal veri bankası oluşturulabilse değindiğimiz yöntemle hesaplanacak ısı akışı verileri ülke çapında hızlı bir ön bilgi birikimi sağlayacaktır.

KATKI BELİRTME

Hazne kaya sıcaklıkların saptanması kısmen Serttaş'ın (1988) lisans ödevi konusudur.

KAYNAKLAR

- Beaumont C., Keen C.E. and Boutilier R. 1982, On the evolution of rifted continental margins: Comparison of models and observations for the Nova Scotian margin, *Geophys. J. R. Astr. Soc.* 70, 667-715.
- Boldizar T. 1968, Geothermal data from the Vienna Basin, *J. Geophys. Res.* 73, 613-618.
- Čermak V. 1975, Temperature-depth profiles in Czechoslovakia and some adjacent areas derived from heat flow measurements, deep seismic sounding and other geophysical data, *Tectonophysics* 26, 103-119.
- Čermak V. and Hurting E. 1978/79, The preliminary heat flow map of Europe and some of its tectonic and geophysical implications, *Pageoph.* 117, 92-103.
- Čermak V. and Lávtová M. 1987, Temperature profiles in the earth of importance to deep electrical conductivity models, *Papeoph.* 125, 255-284.
- Clark S.P. (ed.) 1966, *Handbook of physical constants*, GSA M.No.97, Washington.
- Clark S.P. and Niblett E.R. 1956, Terrestrial heat flow in the Swiss Alps. *Monthly Notices Roy. Astro. Soc. Geophys. Suppl.* 7, 176-195.
- Demirtaşlı Y. 1980, *Türkiye Sıcaksu ve Madensuyu Kaynakları*, M.T.A. Arş. No. 37367.
- Ekingen A. 1978, Biga yarımadası gravite gradyanı. *Jeotermal Enerji*, No. 6, 1-5.
- Ercan T. ve diğ. 1979, Batı Anadolu, Trakya ve Ege Adalarındaki Senozoyik volkanizması, *Jeol. Müh. Dergisi*, No.9.
- Erickson A.J. 1970, The measurement and interpretation of heat flow in the Mediterranean and Black Sea. Ph. D. Thesis, MIT, Dept. of Earth and Planetary Sci., Massachusetts.
- Fournier R.O. and Rowe, J.J. 1966, Estimation of underground temperatures from the silica content of water from hot springs and wet-steam wells, *Am.J. of Science* 264, 685-697.
- Fytikas M.D. 1980, *Geothermal exploitation in Greece*. 2nd Int. Sem on the Results of E.C. Geothermal Energy Research, Strasbourg. (eds.) A.S. Strub ve P. Ungemach, 213-237, Reidel Publ., Dordrecht.
- Haenel R. 1974, Heat flow in Northern Italy and heat flow maps of Europe. *Zeitschrift für Geophysik* 40, 370.
- İlkışık O.M. 1988, Kuzey-kuzeybatı Anadolu'nun derin özdirenç yapısı. *TÜBİTAK Projesi*, TBAG-799, Ankara.
- Jongsma D. 1974, Heat flow in the Aegean Sea. *Geophys. J.R. Astr. Soc.* 37, 337-346.
- Kamik V. 1971 Seismicity of The European Area, Part 2. *Academia*, Prag.

- Lee, W.H.K. 1970, On the global varitions of terrestrial heat flow. *Phys. Earth Planet. Int.* 2:332-341.
- Lubimova E.A. and Polyak B.G. 1969, Heat flow map of Eurasia. *The Earth's Crust and Upper Mantle*. (ed.) P.J. Hart. AGU Geophys. Monogr. No. 13, 826.
- Okay A.I. 1984, Kuzeybatı Anadolu'da yeralan metamorfik kuşaklar, Ketiş Simpozyumu, TJK, 83-92, Ankara.
- Oxburgh E.R. et al 1980, Heat flow pattern of the United Kingdom. 2 nd Int. Sem. on the Results of E.C. Geothermal Energy Research, Strasbourg (eds.) A.S. Strub ve P. Ungemach 447-455, Reidel Publ, Dordrecht.
- Ryan W.B.F. et al. 1971, The tectonics and geology of the Mediterranean Sea. *The Sea* (ed.) a.e. Maxwell, Vol. 4, Interscience, New York.
- Sass J.H. 1971, The earth's heat and internal temperatures. I.G. Gaskell et al. (ed.), *Understanding of the Earth*, 81-87.
- Serttaş F. 1988 Kuzeybatı Anadolu Jeotermal kaynakları. (Yönt. İlkişik O.M.) İ.Ü.Müh. Fak. Bitirme Ödevi, İstanbul.
- Temeke Z. (ed.) 1964, 1:500 000 ölçekli Türkiye jeoloji haritası, İstanbul paftası. MTA yay., Ankara.
- Tezcan A.K. 1979, Geothermal studies, their present status and contribution to heat flow contouring in Turkey. Čermak, V. ve Rybach, L. (eds.), *Terrestrial Heat Flow in Europe*, 283-291. Springer Verlag, Berlin.
- Trevesdell A.H. 1976, Summary of section III, Geochemical techniques in exploration. Proc. 2 nd U.N. Symp. on the Development and Use of Geothermal Resources, San Francisco, 1975, 1, liii-1xx.
- Üçer S.B., Crampin S., Evans R., Miller A. and Kafadar N. 1985, The MARNET radiolinked seismometer network spanning the Marmara Sea and the seismicity of western Turkey. *Geophys. J.R. Astr. Soc.* 83, 17-30.
- Yasui M. et al. 1970, Terrestrial heat flow in the seas around the Nansei Shoto, Ryukyu Islands, *Tectonophysics* 10, 255-234.
- Yenal O. (ed.) 1969, *Türkiye Maden Suları*, cilt 1, 2. İ.Ü. Tip Fak. Hidro-Klimatoloji kursusu, İstanbul.